

О СООТНОШЕНИИ МЕЖДУ КОЭФФИЦИЕНТОМ ФАЗЫ И КОЭФФИЦИЕНТОМ ЗАТУХАНИЯ ЭЛЕКТРОМАГНИТНОЙ ВОЛНЫ, РАСПРОСТРАНЯЮЩЕЙСЯ В ПЛАЗМЕ ВЫСОКОЧАСТОТНОГО ФАКЕЛЬНОГО РАЗРЯДА

Ю.Ю.Луценко

Томский политехнический институт, 634004

(Поступило в Редакцию 20 декабря 1991 г.

В окончательной редакции 26 ноября 1993 г.)

Для понимания физических процессов, протекающих в плазме высокочастотного факельного разряда (ВЧФР), большое значение имеет правильное представление о характеристиках электромагнитной волны, распространяющейся в разряде.

Наиболее важным параметром, характеризующим процесс распространения электромагнитной волны, является волновое число $h = \alpha + j\beta$, действительная часть которого α (коэффициент фазы) определяет длину электромагнитной волны в плазме разряда, мнимая часть β (коэффициент затухания) характеризует процесс затухания поля в плазме разряда.

В ранее проводимых экспериментальных исследованиях [1] получено, что $2\pi\alpha^{-1} \sim L$, $\beta^{-1} \sim 0.15-0.25 L$, где L — длина канала разряда. Таким образом, по результатам работы [1] на расстоянии 0.15–0.25 L от электрода происходит диссипация 85 % ($1 - e^{-2}$) энергии электромагнитной волны. Столь сильное затухание электромагнитной волны вызывает сомнение, так как в этом случае плотность источников диссипации энергии, достаточной для поддержания процесса горения, не обеспечивается по всей длине канала разряда. Заметим также, что выше указанные измерения проводились [1] посредством поясов Роговского, собранных в единый блок оси разряда. Так как емкость и индуктивность измерительной системы значительно превышала емкость и индуктивность плазмоида разряда, то измерения ВЧ тока в разряде сводились фактически к измерению токов утечки.

С целью уточнения величины β/α нами был проведен следующий эксперимент. В ближнюю зону излучения ВЧФР помещалась одновитковая рамка, сигнал которой подавался на вход измерительного прибора. Схема измерительной установки приведена на рис. 1. С целью уменьшения собственной емкости измерительной системы осуществлялся разрыв проводов в местах соединения рамки с передающей коаксиальной линией. Радиус рамки составлял 5–6 мм, что позволяет говорить о локальности проводимых измерений. При вращении рамки относительно оси, перпендикулярной [2] оси разряда, определялось изменение фазового сдвига и амплитуды сигнала, наводимого на рамке высокочастотным полем.

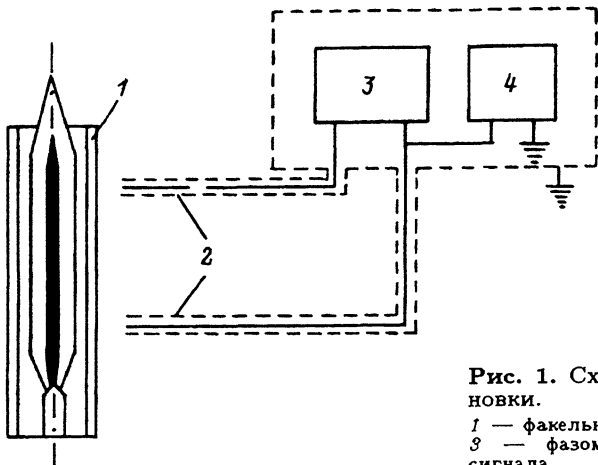


Рис. 1. Схема экспериментальной установки.

1 — факельный разряд, 2 — зонды,
3 — фазометр, 4 — генератор опорного
сигнала.

Заметим, что для цилиндрических структур в непроводящей зоне отношение комплексных амплитуд радиальной компоненты электрического поля E_r и аксиальной компоненты магнитного поля H_φ определяется непосредственно [3] величиной волнового числа

$$\frac{E_r}{H_\varphi} = \frac{h\mu\omega}{k_2^2}. \quad (1)$$

Учитывая, что величина $\mu\omega/k_2^2$ действительная, из выражения (1) получим

$$e^{j[\psi_{E_r} - \psi_{H_\varphi}]} = C \cdot e^{j \operatorname{arctg} \frac{\beta}{\alpha}}, \quad (2)$$

где C — действительная константа, ψ_{E_r} и ψ_{H_φ} — фазы соответственно E_r и H_φ .

Таким образом, согласно выражению (2), по величине фазового сдвига между радиальной компонентой электрического поля и аксиальной компонентной магнитного поля однозначно определяется отношение коэффициента затухания к коэффициенту фазы электромагнитной волны, распространяющейся в плазме ВЧФР.

В то же время эдс, наводимая на рамке в зоне излучения ВЧФР, представляет собой сумму [2] эдс, наводимой электрической компонентой поля E_r , и эдс, наводимой магнитной компонентой поля H_φ .

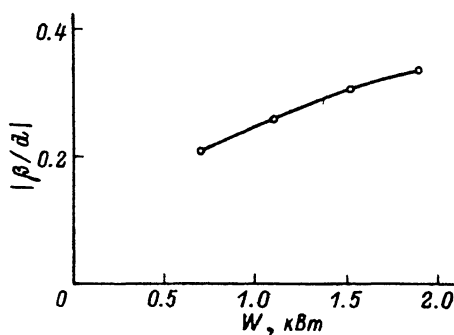


Рис. 2. Зависимость величины $|\beta/\alpha|$ от тепловой мощности разряда.

W , кВт	$\psi_I _{\varphi=\pi/2}$, град	$\psi_I _{\varphi=-\pi/2}$, град
0.6	7	-40
1.0	6	-40
1.5	8	-56
1.9	9	-53

Вследствие этого фазовый сдвиг ψ_I суммарного сигнала, возникающий в результате поворота рамки на угол φ , определится следующим образом:

$$\operatorname{ctg} \psi_I = \frac{\xi}{\sin \psi_{H_\varphi} \sin \varphi} + \operatorname{ctg} \psi_{H_\varphi} \quad (\xi = \frac{A}{B}). \quad (3)$$

Здесь A и B — постоянные действительные величины, характеризующие величины сигналов, поступающих на вход измерительного прибора соответственно от электрической и магнитной компонент поля.

Преобразуя выражение (3) с учетом выражения (2), получим, что величина β/α определится посредством следующего выражения:

$$\beta/\alpha = -2 [\operatorname{ctg} \psi_I|_{\varphi=\pi/2} + \operatorname{ctg} \psi_I|_{\varphi=-\pi/2}]^{-1}. \quad (4)$$

Таким образом, измерения величины ψ_I при $\varphi = \pi/2$ и $\varphi = -\pi/2$ позволяют путем использования выражения (4) оценить величину $|\beta/\alpha|$.

Результаты измерений ψ_I при $\varphi = \pi/2$ и $\varphi = -\pi/2$ представлены в нижеприведенной таблице для различных величин ВЧ мощностей, реализуемых в факельном разряде.

Величины $|\beta/\alpha|$, полученные из экспериментальных измерений и расчетов на основе вышеописанной методики, приведены в виде графиков на рис. 2 в зависимости от мощности для ВЧФР, горящего в воздухе при атмосферном давлении.

Как видно из рис. 2, величина $|\beta/\alpha|$ для ВЧФР находится в пределах 0.25–0.35. Таким образом, предполагая, что длина электромагнитной волны сопоставима с длиной канала ВЧФР, мы можем сделать вывод о том, что падение интенсивности поля в e раз происходит на расстоянии, в 1.5–2 раза превышающем длину канала разряда, т.е. выполняется соотношение $\beta^{-1} \sim 1.5-2 L$, что в свою очередь существенно отличается от результатов работы [1].

Список литературы

- [1] Качанов А.В. // Тез. докл. VIII Всесоюз. конф. по генераторам низкотемпературной плазмы. М., 1980. С. 107–111.
- [2] Тихомиров И.А., Лученко Ю.Ю. // Изв. СО АН СССР. 1989. Вып. 1. С. 81–84.
- [3] Стреттон Д. Теория электромагнетизма, Л.: Гостехиздат, 1948. 539 с.